

УДК 532.516

## ДВИЖЕНИЕ ВЯЗКОЙ ЖИДКОСТИ И СТЕНКИ В ПРИСУТСТВИИ ПОКОЯЩЕЙСЯ СТЕНКИ

В. Л. Сенницкий

Институт гидродинамики им. М. А. Лаврентьева СО РАН, 630090 Новосибирск, Россия  
Новосибирский государственный университет, 630090 Новосибирск, Россия  
E-mail: sennitskii@yandex.ru

Получено решение задачи о затухающем движении гидромеханической системы, состоящей из вязкой жидкости и граничащих с ней твердых стенок. Определено условие, при выполнении которого происходит резкое торможение гидромеханической системы.

Ключевые слова: вязкая жидкость, “свободная” и закрепленная твердые стенки, затухающее движение, резкое торможение гидромеханической системы.

DOI: 10.15372/PMTF20160208

1. В работах [1–3] рассмотрены задачи о движении вязкой жидкости и находящегося в ней “свободного” твердого включения.

В настоящей работе поставлена и решена задача о совместном затухающем движении вязкой жидкости и “свободной” твердой стенки в присутствии другой — закрепленной — твердой стенки.

Теоретическое изучение динамики гидромеханических систем, состоящих из вязкой жидкости и двух твердых стенок, в течение длительного времени сохраняет актуальность [4–12]. Характерным для работ, касающихся данного направления исследований, является то, что стенки испытывают внешние (по отношению к гидромеханической системе) силовые воздействия, покоятся либо совершают заданное движение. В частности, в [4] рассмотрена задача о течении вязкой жидкости между твердыми стенками, которые подвергаются внешним силовым воздействиям, обуславливающим то, что одна из стенок неподвижна, а другая, изначально покоящаяся, движется с заданной постоянной скоростью. В задаче, представленной в настоящей работе, гидромеханическая система также испытывает внешние силовые воздействия: внешние силы приложены к одной из стенок, обеспечивают ее неподвижность. Однако движение другой — “свободной” — стенки происходит исключительно под действием внутренних сил; совместное движение “свободной” стенки и жидкости подлежит определению. Такая задача ранее не рассматривалась.

1.1. Вязкая несжимаемая жидкость заполняет промежуток между двумя плоскими параллельными абсолютно твердыми стенками  $S_{\Pi}$  и  $S_c$ . В каждый момент времени  $t$  стенка  $S_{\Pi}$  покоится, а жидкость и стенка  $S_c$  движутся относительно инерциальной прямоугольной системы координат  $X, Y, Z$ . Границы стенок  $S_{\Pi}, S_c$  совпадают с плоскостями  $Y = 0, Y = H$  ( $H > 0$  — постоянная). При  $t < 0$  на стенку  $S_c$  оказываются внешние силовые воздействия; стенка  $S_c$  и жидкость совершают заданное стационарное движение вдоль оси  $X$ .

При  $t \geq 0$  внешние силовые воздействия на стенку  $S_c$  отсутствуют. Величины, характеризующие гидромеханическую систему, не зависят от координат  $X, Z$ . Требуется определить совместное затухающее движение жидкости и стенки  $S_c$  в присутствии стенки  $S_{\Pi}$ .

1.2. Пусть  $\mathbf{U} = U\mathbf{e}_X$  — скорость стенки  $S_c$  ( $U = U(t)$ ;  $\mathbf{e}_X = \{1, 0, 0\}$ );  $\mathbf{V} = V\mathbf{e}_X$  — скорость жидкости ( $V = V(Y, t)$ );  $V_0 = U_0 Y/H$  ( $U_0 = U|_{t=0} > 0$ );  $P$  — давление в жидкости;  $\rho$  и  $\nu$  — соответственно плотность и кинематическая вязкость жидкости;  $s_c$  — часть стенки  $S_c$ , движение которой происходит под действием силы

$$\mathbf{F} = F\mathbf{e}_X = -\sigma\rho\nu \left. \frac{\partial V}{\partial Y} \right|_{Y=H} \mathbf{e}_X$$

со стороны жидкости ( $\sigma$  — площадь поверхности соприкосновения жидкости и части  $s_c$  стенки  $S_c$ );  $m$  — масса части  $s_c$  стенки  $S_c$ .

1.3. Уравнение движения стенки  $S_c$  (части  $s_c$  стенки  $S_c$ ), уравнение Навье — Стокса и условия, которые должны выполняться на границах стенок и в начальный момент времени, имеют следующий вид:

$$m \frac{dU}{dt} = F; \quad (1.1)$$

$$\frac{\partial V}{\partial t} = \nu \frac{\partial^2 V}{\partial Y^2}; \quad (1.2)$$

$$V = 0 \quad \text{при} \quad Y = 0; \quad (1.3)$$

$$V = U \quad \text{при} \quad Y = H; \quad (1.4)$$

$$V = V_0 \quad \text{при} \quad t = 0. \quad (1.5)$$

2. Для решения поставленной задачи будем применять операционное исчисление [13, 14].

Используя (1.1)–(1.5), получим

$$m(pU^* - U_0) = -\sigma\rho\nu \left. \frac{\partial V^*}{\partial Y} \right|_{Y=H}; \quad (2.1)$$

$$pV^* - V_0 = \nu \frac{\partial^2 V^*}{\partial Y^2}; \quad (2.2)$$

$$V^* = 0 \quad \text{при} \quad Y = 0; \quad (2.3)$$

$$V^* = U^* \quad \text{при} \quad Y = H, \quad (2.4)$$

где  $p$  — комплексная переменная ( $|p| \geq 0$ ,  $-\pi \leq \arg p \leq \pi$ );

$$U^* = \int_0^{\infty} U e^{-pt} dt, \quad V^* = \int_0^{\infty} V e^{-pt} dt.$$

Согласно (2.1)–(2.4)

$$U^* = \frac{U_0}{p} \left( 1 - \frac{\text{sh } \eta}{\eta \Phi} \right); \quad (2.5)$$

$$V^* = \left( U^* - \frac{U_0}{p} \right) \frac{\text{sh}(\eta y)}{\text{sh } \eta} + \frac{U_0}{p} y. \quad (2.6)$$

Здесь  $\eta = \sqrt{p/\nu} H$ ;  $\Phi = \lambda \eta \text{sh } \eta + \text{ch } \eta$  ( $\lambda = m/(H\sigma\rho)$ );  $y = Y/H$ .

Таким образом,

$$U = \frac{1}{2\pi i} \int_{\alpha-i\infty}^{\alpha+i\infty} U^* e^{pt} dp = \frac{U_0}{2\pi i} \int_{\alpha-i\infty}^{\alpha+i\infty} \left(1 - \frac{\text{sh } \eta}{\eta \Phi}\right) \frac{e^{pt}}{p} dp; \quad (2.7)$$

$$V = \frac{1}{2\pi i} \int_{\alpha-i\infty}^{\alpha+i\infty} V^* e^{pt} dp = \frac{U_0}{2\pi i} \int_{\alpha-i\infty}^{\alpha+i\infty} \left(y - \frac{\text{sh}(\eta y)}{\eta \Phi}\right) \frac{e^{pt}}{p} dp, \quad (2.8)$$

где  $\alpha > 0$  — постоянная.

Функция  $\Phi = \Phi(p)$  обращается в нуль тогда и только тогда, когда

$$p = p_k = -(\nu/H^2)\xi_k^2 \quad (k = 1, 2, \dots). \quad (2.9)$$

Здесь

$$(k-1)\pi < \xi_k < (k-1/2)\pi \quad (2.10)$$

корни уравнения

$$\lambda \xi = \text{ctg } \xi. \quad (2.11)$$

По теореме Коши

$$\int_{acdefga} \left(y - \frac{\text{sh}(\eta y)}{\eta \Phi}\right) \frac{e^{pt}}{p} dp = 0; \quad (2.12)$$

$$\int_{abcdefga} \frac{\text{sh}(\eta y)}{\eta \Phi} \frac{dp}{p} = 0, \quad (2.13)$$

где интегрирование производится по контурам, представленным на рис. 1.

Используя (2.7)–(2.9), (2.12), (2.13), получим

$$u = 2 \sum_{k=1}^{\infty} \frac{e^{-\xi_k^2 \tau}}{\xi_k^2 (\lambda^2 \xi_k^2 + \lambda + 1)}; \quad (2.14)$$

$$v = 2 \sum_{k=1}^{\infty} \frac{e^{-\xi_k^2 \tau} \sin(\xi_k y)}{\xi_k^2 (\lambda^2 \xi_k^2 + \lambda + 1) \sin \xi_k}; \quad (2.15)$$

$$2 \sum_{k=1}^{\infty} \frac{\sin(\xi_k y)}{\xi_k^2 (\lambda^2 \xi_k^2 + \lambda + 1) \sin \xi_k} = y. \quad (2.16)$$

Здесь  $u = U/U_0$ ;  $v = V/U_0$ ;  $\tau = \nu t/H^2$ .

Отметим, что согласно (2.10), (2.11) ряд в правой части (2.14) сходится при  $\tau \geq 0$ , ряд в правой части (2.15) сходится при  $\tau \geq 0$ ,  $1 \geq y \geq 0$  (оба ряда мажорируются сходящимся

рядом  $\sum_{k=1}^{\infty} \frac{1}{\xi_k^2 \sqrt{\lambda^2 \xi_k^2 + \lambda + 1}}$ ).

**3.** Из (2.14)–(2.16) следует, что

$$u \rightarrow 0, \quad v \rightarrow 0 \quad \text{при } \tau \rightarrow \infty; \quad (3.1)$$

$$\frac{du}{d\tau} < 0 \quad \text{при } \tau \geq 0;$$

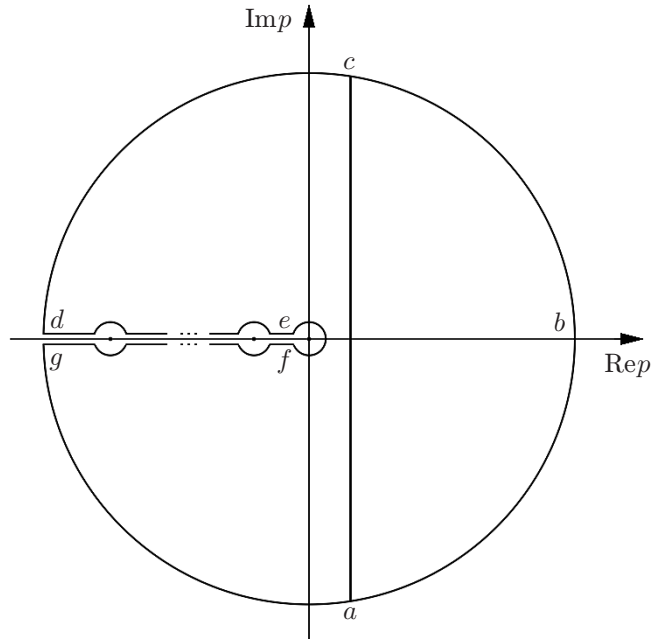


Рис. 1. Контуры интегрирования

$$\bar{v} = u/2 = 1/2 \quad \text{при } \tau = 0; \tag{3.2}$$

$$u/2 < \bar{v} < u/2 + \delta e^{-\xi_1^2 \tau} \quad \text{при } \tau > 0. \tag{3.3}$$

Здесь

$$\bar{v} = \frac{\bar{V}}{U_0} = \frac{1}{U_0 H} \int_0^H V dY$$

( $\bar{V}$  — среднее значение скорости  $V$  по координате  $Y$ );

$$\delta = \frac{2\lambda - (2\lambda + 1) \cos \xi_1}{\xi_1^2 (\lambda^2 \xi_1^2 + \lambda + 1) \cos \xi_1}. \tag{3.4}$$

Формулы (3.1)–(3.3), в частности, свидетельствуют о том, что для любого  $0 < \lambda < \infty$  величина  $\bar{v} - u/2$  имеет хотя бы один максимум.

На рис. 2 линиями 1–3 представлены данные о зависимости  $u$  от  $\tau$  соответственно при  $\lambda = 0,1; 1,0; 10,0$ .

На рис. 3 линиями 1–5 представлены данные о зависимости  $v$  от  $y$  соответственно при  $\tau = 0; \lambda = 0,1, \tau = 0,25; \lambda = 0,1, \tau = 0,5; \lambda = 0,1, \tau = 0,75; \lambda = 0,1, \tau = 1$ .

4. Пусть  $\tau^* = \nu t^*/H^2$ ,  $t^*$  — характерное время торможения стенки  $S_c$ , которое определяется соотношением

$$U|_{t=t^*} = \frac{1}{2} U_0. \tag{4.1}$$

Согласно (2.14), (4.1)

$$0 < \theta < \tau^* < \theta + \varepsilon; \tag{4.2}$$

$$\sum_{k=1}^{\infty} \frac{e^{-(k-1/2)^2 \pi^2 \tau_0^*}}{(k-1/2)^2} = \frac{\pi}{4}. \tag{4.3}$$

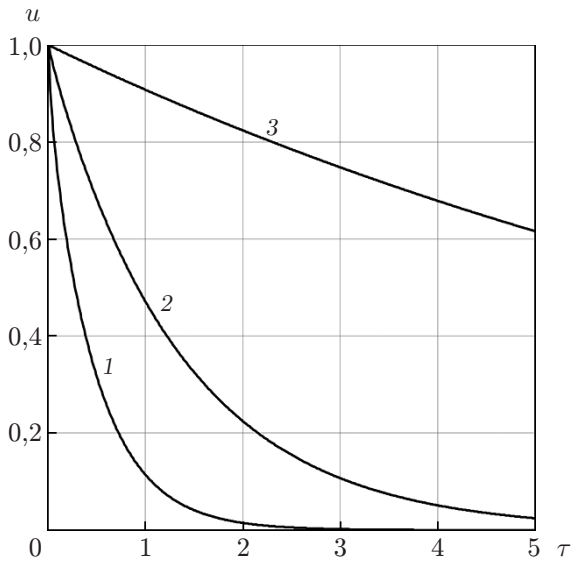


Рис. 2

Рис. 2. Зависимость  $u$  от  $\tau$  при различных значениях  $\lambda$ :

1 —  $\lambda = 0,1$ , 2 —  $\lambda = 1,0$ , 3 —  $\lambda = 10,0$

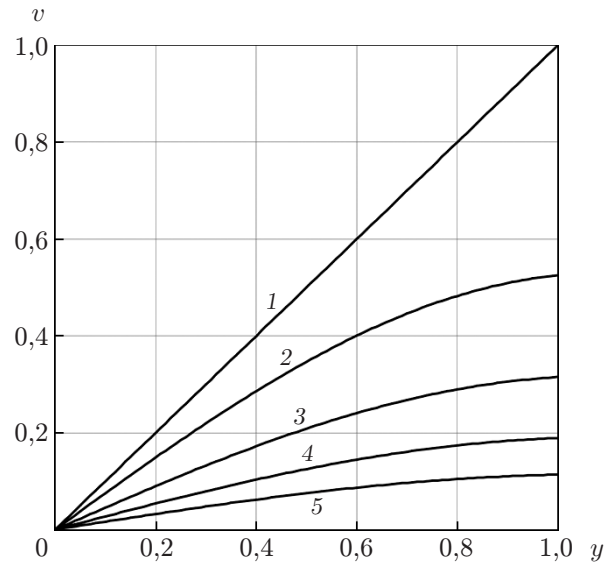


Рис. 3

Рис. 3. Зависимость  $v$  от  $y$  при различных значениях  $\tau$ :

1 —  $\tau = 0$ , 2 —  $\lambda = 0,1$ ,  $\tau = 0,25$ , 3 —  $\lambda = 0,1$ ,  $\tau = 0,5$ , 4 —  $\lambda = 0,1$ ,  $\tau = 0,75$ , 5 —  $\lambda = 0,1$ ,  $\tau = 1$

Здесь

$$\theta = \frac{1}{\xi_1^2} \ln \frac{4}{\xi_1^2(\lambda^2 \xi_1^2 + \lambda + 1)}; \quad (4.4)$$

$$\varepsilon = -\frac{1}{\xi_1^2} \ln \left\{ 1 - \frac{8}{\pi^2} e^{-\pi^2 \theta} + \frac{4}{\sqrt{\pi}} \sqrt{\theta} [1 - \operatorname{erf}(\pi \sqrt{\theta})] \right\}; \quad (4.5)$$

$\tau_0^*$  — значение  $\tau^*$  при  $\lambda = 0$ .

Из (4.3) следует, что

$$\tau_0^* \approx 0,19673. \quad (4.6)$$

Используя (2.14), (4.1), (4.6), найдем

$$\left. \frac{d\tau^*}{d\lambda} \right|_{\lambda=0} = 2\tau_0^* + \left( 4 \sum_{k=1}^{\infty} e^{-(k-1/2)^2 \pi^2 \tau_0^*} \right)^{-1} \approx 0,79148.$$

На рис. 4 приведены графики функций  $\theta = \theta(\lambda)$  (линия 1),  $\varepsilon = \varepsilon(\lambda)$  (линия 2), а также функции

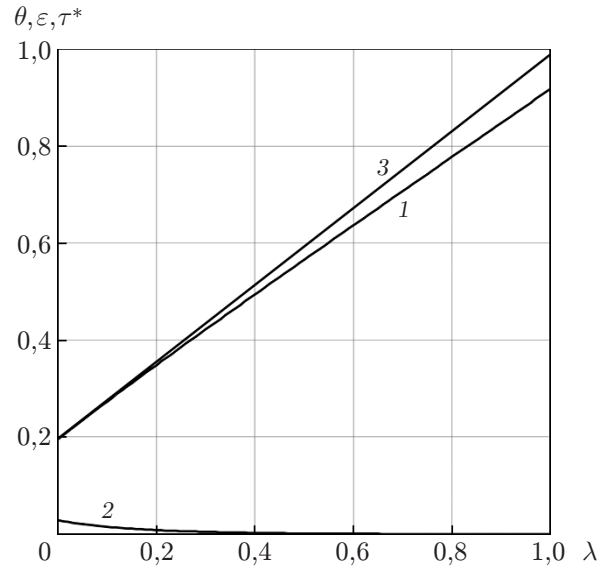
$$\tau^* = 0,19673 + 0,79148\lambda \approx \tau_0^* + \left. \frac{d\tau^*}{d\lambda} \right|_{\lambda=0} \lambda \quad (4.7)$$

(линия 3).

Данные, представленные на рис. 4, свидетельствуют о том, что согласно (4.2), (4.4), (4.5), (4.7) имеет место приближенная формула

$$\tau^* = \theta \quad (4.8)$$

(для всех  $0 < \lambda < \infty$ ).

Рис. 4. Зависимости  $\theta$  (1),  $\varepsilon$  (2),  $\tau^*$  (3) от  $\lambda$ 

Отметим, что

$$\tau_0^* - \theta|_{\lambda=0} \approx 9,3 \cdot 10^{-4}, \quad \left. \frac{d\tau^*}{d\lambda} \right|_{\lambda=0} - \left. \frac{d\theta}{d\lambda} \right|_{\lambda=0} \approx -5,4 \cdot 10^{-3}.$$

5. Пусть характерное время торможения стенки  $S_c$  мало по сравнению с характерным временем движения гидромеханической системы:

$$t^* \ll H/U_0. \quad (5.1)$$

Выполнение соотношения (5.1) соответствует осуществлению резкого торможения стенки  $S_c$ .

Из (4.8), (5.1) следует условие резкого торможения “свободной” стенки в виде

$$\theta \ll \nu/(HU_0). \quad (5.2)$$

6. Согласно (3.3), (3.4), (4.1), (4.2), (4.4), (4.5)

$$1/4 < \bar{v}|_{\tau=\tau^*} < 1/\pi. \quad (6.1)$$

Из (6.1) следует, что характерное время  $t^*$  торможения стенки  $S_c$  может рассматриваться как характерное время торможения жидкости (как целого). Это, в частности, означает, что при выполнении условия (5.2) происходит резкое торможение всей гидромеханической системы.

Автор выражает благодарность О. С. Пятигорской за участие в проведении численных расчетов.

## ЛИТЕРАТУРА

1. Сенницкий В. Л. О движении пульсирующего твердого тела в вязкой колеблющейся жидкости // ПМТФ. 2001. Т. 42, № 1. С. 82–86.
2. Сенницкий В. Л. О поведении пульсирующего твердого тела в вязкой жидкости в присутствии силы тяжести // ПМТФ. 2001. Т. 42, № 5. С. 93–97.
3. Пятигорская О. С., Сенницкий В. Л. Пример движения цилиндрического твердого тела в вязкой жидкости // ПМТФ. 2013. Т. 54, № 2. С. 81–87.

4. **Слезкин Н. А.** Динамика вязкой несжимаемой жидкости. М.: Гостехтеоретиздат, 1955.
5. **Жмулин Е. М.** Движение вязкой жидкости между двумя параллельными движущимися и гармонически колеблющимися пластинами // Учен. зап. Центр. аэрогидродинам. ин-та. 1972. Т. 3, № 2. С. 51–59.
6. **Wang C.-Y.** The squeezing of a fluid between two plates // Trans. ASME. J. Appl. Mech. 1976. V. 43, N 4. P. 579–583.
7. **Secomb T. W.** Flow in a channel with pulsating walls // J. Fluid Mech. 1978. V. 88, pt 2. P. 273–288.
8. **Мануйлович С. В.** О восприимчивости плоского течения Пуазейля к вибрации стенок канала // Изв. РАН. Механика жидкости и газа. 1992. № 4. С. 12–19.
9. **Гурченков А. А.** Неустановившееся движение вязкой жидкости между вращающимися параллельными стенками при наличии поперечного потока // ПМТФ. 2001. Т. 42, № 4. С. 48–51.
10. **Аристов С. Н., Князев Д. В.** Течения вязкой жидкости между подвижными параллельными плоскостями // Изв. РАН. Механика жидкости и газа. 2012. № 4. С. 55–61.
11. **Петров А. Г.** Точное решение уравнений Навье — Стокса в слое жидкости между движущимися параллельно пластинами // ПМТФ. 2012. Т. 53, № 5. С. 13–18.
12. **Петров А. Г.** О точных и асимптотических решениях уравнений Навье — Стокса в слое жидкости между сближающимися и удаляющимися пластинами // Изв. РАН. Механика жидкости и газа. 2014. № 2. С. 44–57.
13. **Свешников А. Г.** Теория функций комплексной переменной / А. Г. Свешников, А. Н. Тихонов. М.: Наука, 1967.
14. **Пчелин Б. К.** Специальные разделы высшей математики. М.: Высш. шк., 1973.

*Поступила в редакцию 21/V 2014 г.,  
в окончательном варианте — 2/XII 2014 г.*

---